

東京工業大学 正員 西村俊夫
 東京工業大学 正員 三木子寿
 環境庁 横尾和伸

I まえがき

引張部材に高力ボルトヤリベットが千鳥に配置された時の純断面積の算定には種々の設計式が提案されてゐる。

$$w = d - s^2/4g \quad d > s^2/4g \quad \dots \dots \dots (1)$$

$$w/d = 1.5 - s/g \quad s > 0.5g \quad \dots \dots \dots (2)$$

(1), (2)に示す式は代表的なものであり、(1)は Victor H. Cochrane が提案し、道路橋、鉄道橋、の手方書、AISC, AASHTO, AREA 等で用いられてゐる式。(2)は建築学会鋼構造計算規準に採用されてゐる式であるが、いずれも静的強度に基づいた経験式的なものである。

現在の設計法においては、疲労強度も引張強度と同様に純断面積を用い、許容応力を定めることにより評価されてゐるが、疲労破壊を生ずる場合は破断のパラメータ、静的では降伏あるいは破断と異なつてゐる。本報告は疲労強度から純断面積の評価を考えるために行なった実験の結果である。

II 実験片

鋼材は SM 50 B E を使用した。6種の試験片の板幅は 144 mm、板厚は 12 mm で一定、内孔は M 16 のボルトを想定し直徑 17 mm とした。A～D の試験片はヘリヤリスを 24 mm とし A における穴間隔をボルト径の 3 倍、48 mm とした。D 型試験片は (1) 式において $w=0$ となる様に s を定めた。

$$d - s^2/4g = 0 \quad g = 48, \quad d = 17 \text{ おり} \quad s = 57 \text{ mm}$$

B, C 型試験片は A と D 試験片の s を 3 等分して 19 mm, 38 mm を用いた。E 型試験片は側面内孔の両側の孔壁（図中の 1, 2, ）における形状係数がほぼ等しくなる様に側断面幅および中心断面幅を定めた。F 型試験片は E 型試験片の中心内孔を、穴中心間隔が 40 mm となる様に配置したものである。

III 静的引張実験の結果

引張実験結果を図-1 に示す。A～D の各試験片においては最大耐力に達した後、側断面が破断し変形が進んで全体の破断に至る。E 型試験片においては降伏が最大耐力となり、その時中央部 2 断面が破断した。F 型試験片は最大耐力の後に 4 断面同時に破断した。図-1 の試験片中に示した実験による断面線は (1) 式を用いて純断面積を計算した時の仮定破断線であるが、

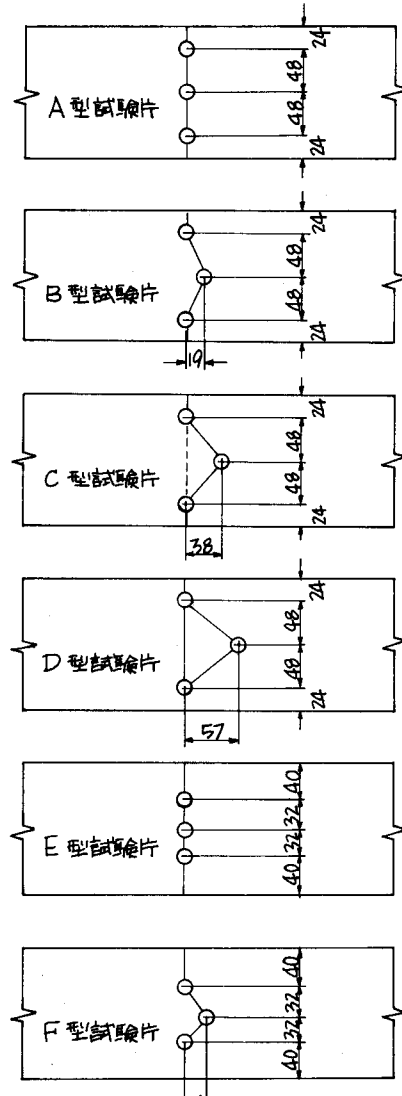


図-1 試験片

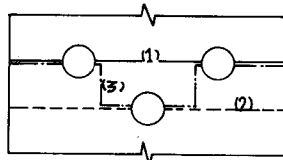


図-2 疲労による破断線

C型試験片は破線で示した破断線とは、た。図-3中の実線aと破線bは設計式(1)を用いて計算してAnに降伏点応力および引張強さを乗じたものである。最大耐力の変化は設計式からの計算値と類似の傾向を示してい。降伏力は、 $P^2/4g$ にかかわらずほとんど一定であった。

IV 疲労実験の結果

疲労実験は電気油圧型60/50TON疲労試験機を使用し、下限1TONの片振引張荷重で、載荷速度は、600 cycle/min. である。

図-4に疲労実験での上限荷重と荷重繰返し数の関係を示した。また図-5は $S^2/4g$ を横軸に、繰返し数を縦軸にし、各最大荷重に関してまとめたものである。実験結果は非常にばらつきが多いが、図-5より疲労強度と $S^2/4g$ との相関性は無い様である。

破断は、B型試験片ではすべて図-2に示す可破断線(2)とてた。この時中心孔の両側壁から発生してい。疲労キレツの長さは、端部の孔から部材縁に発生してい。キレツよりも大である。C型試験片は上限荷重35TONの時に(3)となる。以外は(1)である。D型試験片はすべて(1)で破断した。E型試験片では39TONでは(2)、35TONの時は半断面式(2)で残り式(3)となり、33TONと31TONの時(2)となる。いずれも静的引張破断と異なり伸びによる部材形状の変化はほとんどなかった。また疲労キレツはすべて孔壁から直角方向に進展し、最終的には破断に至る。

V 結び

実験の数も少なく、その結果もばらつきが大的のため明らかな結論とはいえないと、純断面積が一定の板に円孔を子鳥に配置し、設計公算による純断面積を増しても、疲労強度は増えない。またその時の破断線は各孔壁から直角に進み、静的引張の場合と異なる。

試験片の応力状態は現在計算中であり、今後材料の異な、た時、あるいは寸法効果等につけても考える予定である。

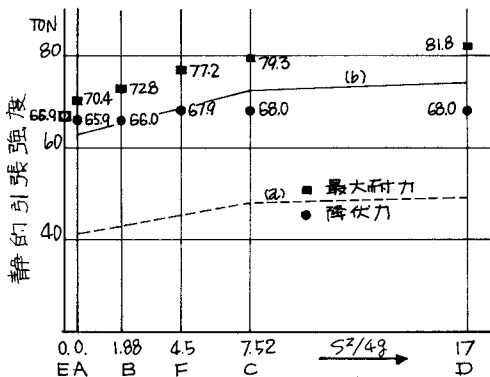


図-3 静的引張実験の結果

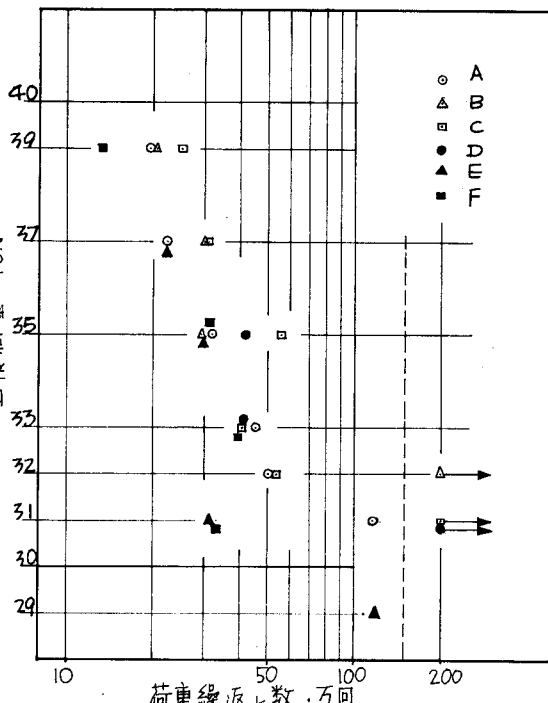


図-4 疲労実験の結果

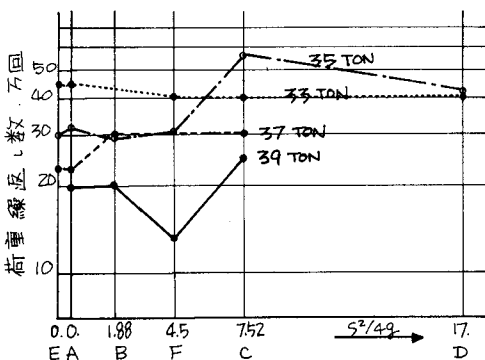


図-5 疲労強度と $S^2/4g$